

ОБ ОБЪЕДИНЕНИИ КВАНТОВОЙ ХИМИИ И МОЛЕКУЛЯРНОЙ МЕХАНИКИ. ПОВЕРХНОСТЬ ПОТЕНЦИАЛЬНОЙ ЭНЕРГИИ КОМПЛЕКСОВ ПЕРЕХОДНЫХ МЕТАЛЛОВ НА ПРИМЕРЕ СПИНОВОГО ПЕРЕХОДА В *cis*-[Fe(bipy)₂(NCS)₂]

© 1999 г. М. Б. Дарховский, А. Л. Чугреев

Научно-исследовательский физико-химический институт им. Л. Я. Карпова

Поступила в редакцию 27.03.1997

Предложен новый подход к расчету поверхностей потенциальной энергии (ППЭ) различных спиновых состояний комплексов переходных металлов, основанный на описании электронной структуры комплекса в рамках метода эффективного кристаллического поля (ЭКП), в котором полная волновая функция представлена как антисимметризованное произведение функции *d*-электронов в приближении конфигурационного взаимодействия и функции электронов лигантов в приближении самосогласованного поля. В рамках метода ЭКП получено выражение для полной энергии молекулы в виде суммы эффективной энергии *d*-электронов и энергии лигантов, аппроксимируемой при помощи метода молекулярной механики (ММ). Предложенный подход использован для построения сечений ППЭ разных спиновых состояний молекулы *cis*-[Fe(bipy)₂(NCS)₂] вдоль прямой, соединяющей точки, соответствующие спиновым изомерам, в конфигурационном пространстве. Подобраны параметры ММ для атома железа, которые позволяют воспроизвести термы полной энергии так, чтобы они соответствовали известным экспериментальным характеристикам спинового перехода.

В настоящее время в связи с потребностью в изучении металлокомплексов ферментов методами молекулярной динамики интенсивно ведется поиск подходов, позволяющих описывать потенциальную энергию комплексов переходных металлов (КПМ) в приближении молекулярной механики (ММ) [1–7]. Это хорошо известное приближение [8] используется для моделирования потенциальной энергии внутри- и межмолекулярного взаимодействия в молекулярно-динамических расчетах сложных органических молекул с большим числом атомов (например, белков). Главная проблема, с которой сталкивается метод ММ при попытках его применения в КПМ и, в частности, к металлокомплексам ферментов, состоит в наличии множества спиновых (или, в более общем случае, электронных) состояний комплекса в относительно узком интервале энергий вблизи основного состояния. Их существование связано с наличием в комплексе открытой *d*-оболочки, способной изменять свое спиновое (электронное) состояние при изменении кристаллического поля, индуцируемого лигандами. В случае органических молекул такая проблема не возникает, так как их возбуждение состояния далеко отстоит по энергии от основного, что и является предпосылкой применимости метода ММ к органическим молекулам (в том числе и к органическим лигандам КПМ). С другой стороны, именно значимость квантовых эффектов в *d*-оболочке пе-

реходного металла, которые невозможно учесть в рамках общей схемы ММ, не позволяет непосредственно включить в нее переходные металлы. Заметим, что аналогичная проблема возникает и при попытке применить ММ к исследованию реакций органических молекул. В случае химической реакции (т.е. изменения электронной структуры участвующих в реакции молекул) в некоторых областях пространства конфигураций ядер происходит сближение электронных термов и тем самым нарушается сформулированное выше условие применимости ММ к описанию молекулярной системы. Понимание этого обстоятельства породило множество попыток объединения ММ и квантово-химического описания органических молекул (см. посвященный этой проблематике сборник [9]). Однако, несмотря на значительные усилия, приложенные к решению указанной проблемы, до настоящего времени не было предложено такого общего подхода к ее решению, который был бы основан на анализе квантово-механического описания электронной структуры молекул. Также и проблема распространения метода ММ на КПМ, насколько нам известно, не воспринимается как частный случай проблемы объединения квантовой и молекулярной механики. Между тем в работе [10] было представлено формальное описание электронной структуры и потенциальной энергии молекулярной системы, объединяющее квантово-механическое описание

для той части молекулярной системы, которую затрагивают химические реакции (сближающиеся электронные термы), и молекулярно-механическое описание для химически инертного окружения (где возбужденные электронные состояния лежат высоко по энергии). В настоящей работе мы покажем, что решение частной проблемы распространения молекулярной механики на КПМ, как и решение общей проблемы объединения квантовой и молекулярной механики в рамках единой расчетной процедуры, заключается в приближенном разделении электронных переменных на две группы и описании электронных состояний каждой из групп в рамках молекулярно-механического и квантово-механического формализма, соответственно, и построения сшивки подсистем, учитывающей взаимодействие между группами электронов, как и было предложено в [10]. Вывод [10] был основан на применении концепции обобщенных групповых функций для разделения электронных переменных. Ранее с помощью этой концепции уже удалось [11] создать весьма удачный метод расчета электронной структуры и $d - d$ -спектров КПМ, названный методом эффективного кристаллического поля (ЭКП). Однако метод ЭКП в своей оригинальной реализации [11] не позволяет рассчитывать полную энергию КПМ. В настоящей работе мы покажем, как метод ЭКП может быть модифицирован для расчета полной энергии КПМ и как получить его параметризацию в рамках методологии ММ.

Как и в методе ЭКП, разобъем пространство атомных орбиталей КПМ на подпространство d -орбиталей атома металла и дополнительное к нему подпространство орбиталей лигандов, включающее, кроме того, валентные s , p -орбитали атома металла. В соответствии с разбиением пространства атомных орбиталей (АО) электронный гамильтониан комплекса примет вид

$$H = H_d + H_L + H_c + H_r, \quad (1)$$

Здесь H_d – гамильтониан d -электронов металла в поле остальных зарядов атомов лигандов, H_L – гамильтониан электронов лигандов, H_c и H_r – операторы кулоновского и резонансного взаимодействий между группами электронов.

Разделение электронных переменных возможно лишь при условии ограничения полного пространства многоэлектронных функций КПМ до подпространства функций с фиксированным числом электронов на d -орбиталях металла (n_d) и на валентных оболочках лигандов (n_L), соответственно. В работе [11] такое ограничение реализуется при помощи проецирования точной волновой функции электронов КПМ на введенное выше подпространство функций с фиксированным числом электронов в подсистемах. Пусть P – про-

нительный к нему проектор. После подстановки $P + Q = 1$ в уравнение Шредингера

$$H\Psi = E\Psi$$

для полной волновой функции Ψ и стандартных преобразований [12] мы получим уравнение для функции из рассматриваемого подпространства $\text{Im } P$:

$$\begin{aligned} \Psi_n &= P\Psi / \langle P\Psi | P\Psi \rangle, \\ H_{ef}\Psi_n &= E\Psi_n. \end{aligned} \quad (2)$$

Это уравнение Шредингера с эффективным гамильтонианом

$$\begin{aligned} H^{ef} &= PH_0P + H_{RR}, \\ H_0 &= H_d + H_L + H_c, \\ H_{RR} &= PH_rQ(EQ - QH_0Q)^{-1}QH_rP, \end{aligned} \quad (3)$$

действующим в подпространстве $\text{Im } P$. Собственные значения операторов H^{ef} и H по построению совпадают [12].

Решение вариационной задачи для функционала энергии $\langle \Psi_n | H^{ef} | \Psi_n \rangle$ мы будем искать, используя в качестве пробной функции волновую функцию, являющуюся произведением групповых функций:

$$\Phi_n = \Phi_d^n \wedge \Phi_L. \quad (4)$$

Здесь знак “ \wedge ” обозначает антисимметризованное произведение волновых функций, Φ_d^n – волновая функция с фиксированным числом d -электронов, Φ_L – функция электронов лигандов. Вариационная задача с такой пробной функцией сводится к системе уравнений с эффективными гамильтонианами лигандов и d -электронов [12]:

$$H_d^{ef} \Phi_d^n = E_d^{ef} \Phi_d^n, \quad (5)$$

$$H_L^{ef} \Phi_L = E_L \Phi_L, \quad (6)$$

где

$$H_d^{ef} = H_d + \langle \Phi_L | H_c + H_{RR} | \Phi_L \rangle,$$

$$H_L^{ef} = H_L + \langle \Phi_d^n | H_c + H_{RR} | \Phi_d^n \rangle. \quad (7)$$

Согласно [12], полная электронная энергия молекулы в n -том состоянии вида (4) имеет вид

$$E_n^{el} = E_d^{ef}(n) + E_L, \quad (8)$$

где $E_d^{ef}(n)$ – энергия n -го состояния эффективного гамильтониана (5) d -электронов.

В рамках существующей реализации метода ЭКП [11] функция Φ_L рассчитывается в полуэмпирической версии приближения самосогласованно-

шем при построении H_d^{ef} . Функция Φ_d^n при этом строится в приближении полного конфигурационного взаимодействия (КВ) в пространстве всех функций n_d электронов на пяти d -орбиталах. Для отыскания полной энергии E_n молекулы комплекса в n -том состоянии мы предлагаем оценить энергию лигандов E_L в приближении молекулярной механики, т.е. положить $E_L = E_{mm}$. Тогда выражение для полной электронной энергии состояния n примет вид

$$E_n^{el} = E_d^{ef}(n) + E_{mm}, \quad (9)$$

что представляет естественный способ комбинирования методов ММ [8] и ЭКП [11]. Мы видим, что комбинируя, согласно формуле (8), энергию многоэлектронных состояний d -оболочки $E_d^{ef}(n)$ для разных атомных конфигураций КПМ и энергию лигандов в приближении ММ E_{mm} , мы можем получить приближенные поверхности потенциальной энергии для различных электронных состояний d -оболочки комплексов переходных металлов.

Заметим, что существующие методы оценки поверхностей потенциальной энергии КПМ в рамках молекулярно-механического подхода [1–7] либо вообще не предусматривают возможности существования различных спиновых состояний для комплексов с открытой d -оболочкой [1–3], либо предполагают использование различных наборов параметров ММ для описания ППЭ разных спиновых состояний одного и того же иона [4–7]. Такое положение дел является вполне естественным, поскольку метод ММ основан на параметризации полной энергии молекул в виде суммы потенциалов, относящихся к разным типам взаимодействий. Обычно выделяют [8] такие потенциалы, как валентный (растяжение связей), E_b ; угловой деформации, E_θ ; торсионный, E_τ ; ван-дерваальсово взаимодействие несвязанных атомов, E_{vdw} . Каждому потенциальному соответствует свой набор параметров, подбираемых путем обработки большого объема экспериментальных данных, относящихся к строению молекул, а также к их ИК-спектрам и теплотам образования. Наш подход, выражаемый формулами (8), (9), позволяет расширить класс рассматриваемых объектов, так как предполагает явный учет состояний d -электронов и применение единой параметризации для молекулярно-механического вклада в полную энергию для всех возможных электронных состояний d -оболочки с заданным числом электронов n_d .

Удачными объектами, позволяющими тестировать предлагаемый подход, являются спиновые изомеры КПМ. У ряда КПМ одного состава возможны основные электронные состояния с разным спином [13], которые отличаются деталями молекулярной структуры комплекса. Так, у неко-

торых комплексов Fe(II) с азотсодержащими органическими лигандами возможно существование низкоспиновых ($S = 0$, НС) и высокоспиновых ($S = 2$, ВС) изомеров [14, 15]. Процесс превращения НС-изомеров в ВС при изменении температуры и/или давления называется спиновым переходом. Разные спиновые изомеры могут существовать в виде индивидуальных веществ. Рентгенографические эксперименты [16] показывают, что геометрии молекул в ВС- и НС-состояниях отличаются так, что в первых при одинаковой ориентации лигандов расстояние Fe–N больше, чем в последних, т.е. лиганды изменяют свое положение относительно атома металла, не изменяя при этом ни своей внутренней структуры, ни характера координации.

Для тестирования предложенного способа расчета полной энергии молекул был рассмотрен комплекс *cis*-[Fe(bipy)₂(NCS)₂], спиновая изомерия которого хорошо изучена. В кристаллах этого комплекса резкий спиновой переход наблюдается при 212 K [14]. Расстояния Fe–N для ВС- и НС-форм молекулы *cis*-[Fe(bipy)₂(NCS)₂] отличаются приблизительно на 0.2 Å (для bipy) [16]. В работе [17] было показано, что метод ЭКП без дополнительной параметризации правильно описывает спин основного состояния указанного комплекса для экспериментальных геометрий ВС- и НС-форм, и, таким образом, электронная структура d -оболочки в двух предельных конфигурациях ядер, найденная методом ЭКП, согласуется с экспериментом. Для анализа ППЭ нескольких низших электронных состояний мы построили промежуточные между ВС- и НС-формами молекулярные структуры вдоль прямой в пространстве ядерных координат, соединяющей ВС- и НС-формы комплекса. Для каждой точки на этой прямой, которая представляет некоторую промежуточную между ВС- и НС-формами структуру, методом ЭКП рассчитывались энергии нескольких низших состояний d -оболочки, а методом ММ вычислялась энергия лигандов. Как правило, в методе ММ для валентного и углового силовых полей используют гармоническое приближение со слабым ангармонизмом. Однако, поскольку в процессе спинового перехода изменение длины связи Fe–N составляет более 10% от длины этой связи в НС-изомере, гармонического приближения недостаточно, и для описания валентного потенциала связей Fe–N мы использовали потенциал Морзе

$$E_b^{\text{Fe-N}} = D_{\text{Fe-N}} [1 - \exp \{-\alpha_{\text{Fe-N}} (r - r_{\text{Fe-N}}^0)\}]^2.$$

Для углового потенциала N–Fe–N использовалось обычное гармоническое приближение. Для остальных атомов и межатомных связей использовались параметры и потенциалы из стандартного набора MM2 [18].

Теперь необходимо остановиться на проблеме подбора параметров для потенциалов ММ, описывающих взаимодействия в группах атомов, включающих атом железа. Параметры ММ потенциала для атома металла в предлагаемом нами комбинированном методе заведомо не совпадают с известными параметрами ММ, извлекаемыми из структурных данных, поскольку последние неявно содержат зависимость энергии d -электронов от координат ядер. В нашем методе d -электронная энергия рассчитывается явно при помощи метода ЭКП и рассматривается как точная. Таким образом, параметры ММ для железа по построению должны описывать лишь часть полной электронной энергии, относящейся к взаимодействию лигантов с остовом и $4s$, $4p$ -валентными электронами металла и, независимо от существующих в литературе параметризаций ММ для атомов металлов (в том числе для железа), должны быть подобраны заново. Эту часть полной электронной энергии необходимо выделить из экспериментальных данных по термодинамическим функциям (энталпии и энтропии) спиновых переходов и привлечь для параметризации соответствующих потенциалов метода ММ. В таком случае параметры ММ для металла могут быть определены так, чтобы минимизировать разницу между вкладом энергии d -оболочки в полную электронную энергию, который мы рассчитываем явно, и оценкой вклада деформаций связей Fe–N и др. в термодинамические функции по экспериментальным данным (см. ниже).

Для оценки потенциалов деформации связей Fe–N мы проанализировали имеющиеся в литературе данные по структурам спиновых изомеров и термодинамическим функциям спинового перехода. Прежде чем анализировать различные вклады в термодинамические функции, отметим, что в рамках модели регулярных растворов спиновый переход описывается формулой [14]

$$\ln\left(\frac{1-n_{hs}}{n_{hs}}\right) = \frac{\Delta H + \Gamma(1-2n_{hs})}{kT} - \frac{\Delta S}{k}, \quad (10)$$

в которой n_{hs} – доля ВС-молекул, Γ – параметр межмолекулярного взаимодействия, а ΔH и ΔS по сути – энталпия и энтропия перехода, соответственно (k – постоянная Больцмана). При низкой температуре кристалл состоит из НС-молекул ($n_{ls} \approx 1$, $n_{hs} \approx 0$), а при высокой – из ВС-молекул ($n_{ls} \approx 0$, $n_{hs} \approx 1$). Критическая точка спинового перехода соответствует равенству долей ВС- и НС-молекул, $n_{hs} = n_{ls} = 0.5$, откуда имеем уравнение на критическую температуру:

$$T_c = \frac{\Delta H(T_c)}{\Delta S(T_c)}. \quad (11)$$

Здесь $\Delta H(T_c)$ и $\Delta S(T_c)$ – изменения полных энталпии и энтропии кристалла при спиновом переходе, измеряемые в эксперименте. Полная энталпия и энтропия состоят из внутримолекулярных

вкладов и вкладов от колебаний решетки кристалла (фононов). Для оценок ΔH и ΔS достаточно учесть только внутримолекулярные вклады в энталпию и энтропию, так как в рамках простой термодинамической модели спинового перехода [19] было показано, что фононный вклад в эти величины не изменяется при переходе от НС- к ВС-форме кристалла, а потому фононный вклад в термодинамические функции спинового перехода равен нулю.

Для молекулярного вклада в энталпию спинового перехода имеем

$$\Delta H = \Delta H_{el} + \Delta H_{vib}. \quad (12)$$

В соответствии с (8)

$$\Delta H_{el} = E_{min}^{hs} - E_{min}^{ls},$$

где E_{min}^{hs} и E_{min}^{ls} равны энергиям ВС- и НС-состояний соответственно, взятых в минимумах, соответствующих ППЭ. Для колебательной энталпии имеем

$$\Delta H_{vib} = \sum_n \left\{ \frac{\hbar}{2} (\omega_{hs}^n - \omega_{ls}^n) - \frac{\hbar \omega_{hs}^n}{\exp(\hbar \omega_{hs}^n / kT) - 1} - \frac{\hbar \omega_{ls}^n}{\exp(\hbar \omega_{ls}^n / kT) - 1} \right\},$$

где сумма распространяется на все колебательные степени свободы, частоты которых изменяются при спиновом переходе. Заметим, что только колебания связей Fe–N дают заметный вклад в результат, так как частоты только этих колебаний отличаются для разных спиновых форм, а потому вклады всех остальных колебаний сокращаются. Таким образом, в последней формуле суммирование ведется только по связям Fe–N. Легко убедиться, что

$\Delta H_{vib} \rightarrow \sum_n \frac{\hbar}{2} (\omega_{hs}^n - \omega_{ls}^n)$ при $T \rightarrow 0$, т.е. содержит

поправку на энергию нулевых колебаний. Для оценки колебательного вклада в изменение энталпии мы использовали усредненные значения [21] экспериментальных частот связей Fe–N:

$$\hat{\omega}_{hs}(\text{Fe–N}) = 231 \text{ см}^{-1},$$

$$\hat{\omega}_{ls}(\text{Fe–N}) = 432 \text{ см}^{-1}.$$

В результате в сумме содержится шесть (по числу связей Fe–N) одинаковых слагаемых:

$$\Delta H_{vib} = 6 \left\{ \frac{\hbar}{2} (\omega_{hs} - \omega_{ls}) + \frac{\hbar \omega_{hs}}{\exp(-\hbar \omega_{hs} / kT) - 1} - \frac{\hbar \omega_{ls}}{\exp(-\hbar \omega_{ls} / kT) - 1} \right\}.$$

По нашим оценкам, величина колебательной энталпии $\Delta H_{vib}(T_c)$ составляет -4 кДж/моль, а "экспериментальное" значение ΔH_{el} должно составлять 14 кДж/моль.

Нами были построены, согласно формуле (9), сечения ППЭ первых низших синглета, триплета и квинкета рассматриваемого комплекса. Параметры морзеевых потенциалов подбирались так, чтобы положения минимумов на термах синглета и квинкета совпадали с экспериментальными расстояниями [16] Fe–N в HC- и BC-структурах и чтобы разность энергий минимумов HC- и BC-термов совпадала с величиной ΔH_{el} , оцененной выше из экспериментальных данных по $\Delta H(T_c)$ и оценок для ΔH_{vib} , ΔS_{vib} . Для связей Fe–N были найдены следующие параметры:

$$r_{Fe-N}^0 = 2.0465 \text{ \AA}, \quad D_{Fe-N} = 70.0 \text{ ккал/моль}, \\ \alpha_{Fe-N} = 2.0 \text{ \AA}^{-1}$$

для связи Fe–N(bipy),

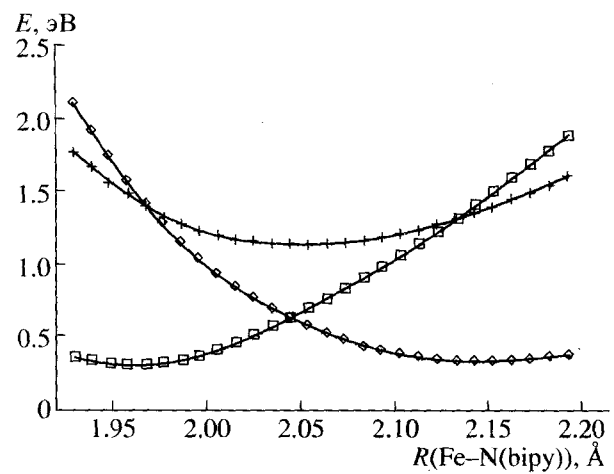
$$r_{Fe-N}^0 = 1.9865 \text{ \AA}, \quad D_{Fe-N} = 40.0 \text{ ккал/моль}, \\ \alpha_{Fe-N} = 3.0 \text{ \AA}^{-1}$$

для связи Fe–N(NCS), причем для взаимодействий N–Fe–N были приняты следующие значения параметров:

$$k_\phi = 0.015 \text{ ккал/моль}, \\ \phi(N-Fe-N) = 90^\circ, \\ \phi(Fe-N_{(bipy)}-S) = 180^\circ.$$

Значения параметров углового потенциала не подбирались, а были зафиксированы исходя из предположения о слабой зависимости ММ-части энергии комплекса от изменения валентных углов при атоме Fe.

При указанных параметрах сечения ППЭ изображены на рисунке. Положения минимумов термов хорошо соответствуют экспериментальным расстояниям как для связи Fe–N(bipy), так и для связи Fe–N(NCS). При этом вклад энергии d -электронов, вычисляемой методом ЭКП, в изменение ΔH_{el} соотносится с вкладом энергии лигандов, вычисляемой методом ММ, примерно как 2 : 3. Заметим, что энергия в точке пересечения термов не является оценкой для энергии активации спинового перехода, так как прямая, соединяющая BC- и HC-изомеры в конфигурационном пространстве, вдоль которой проводились вычисления энергии термов, может и не совпадать с координатой реакции спинового перехода (и, скорее всего, не совпадает) [19].



Термы спиновых состояний молекулы *cis*-[Fe(bipy)₂(NCS)₂] как функции расстояния Fe–N(bipy), полученные из расчета методом ЭКП–ММ при следующих значениях S: $\diamond - S = 2$, $+$ – $S = 1$, $\square - S = 0$.

Имеющихся у нас данных достаточно для оценки внутримолекулярного вклада в энтропию спинового перехода. Для изменения энтропии имеем

$$\Delta S(T) = \Delta S_{el}(T) + \Delta S_{vib}(T),$$

$$\Delta S_{el}(T) = k \ln \frac{g_{hs}}{g_{ls}},$$

$$\Delta S_{vib}(T) = \left[k \ln \left(Q_{hs}/Q_{ls} \right) + kT \left(\frac{\partial \ln(Q_{hs}/Q_{ls})}{\partial T} \right) \right],$$

где g_{hs} и g_{ls} – электронные статистические суммы для BC- и HC-форм, соответственно, а Q_{hs} и Q_{ls} – соответствующие колебательные статистические суммы.

Электронная статистическая сумма [20] имеет вид

$$g_s = \sum_n (2s_n + 1) \exp(-\epsilon_n/kT), \quad (13)$$

где s_n – спин n -того состояния. При этом для разных спиновых форм молекулы за нуль отсчета энергии принимается значение энергии в минимуме ППЭ соответствующего полного спина s и используются вертикальные энергии возбуждения.

Первый нижний квинкет в кристаллическом поле симметрии O_h вырожден трижды ($^5T_{2g}$). В нашем случае кристаллическое поле менее симметрично и это вырождение снимается. Согласно нашим расчетам, трехкратно вырожденный $^5T_{2g}$ -уровень слабо расщеплен: два низших подуровня отстоят друг от друга примерно на $\epsilon_1 = 100 \text{ см}^{-1}$, в то время как третий подуровень имеет энергию около 5000 см^{-1} . Поэтому в сумме

Вычисленные и экспериментальные характеристики спинового перехода

	$\Delta H, \text{кДж} \cdot \text{моль}^{-1}$	$\Delta S, \text{Дж} \cdot \text{К}^{-1} \cdot \text{моль}$	$T_c, \text{К}$	$R_{\text{Fe}-\text{N(bipi)}}^{HS}, \text{\AA}$	$R_{\text{Fe}-\text{N(bipi)}}^{LS}, \text{\AA}$
Эксперимент	10.1	48.8	212	2.155	1.967
Расчет	10.0	39.3	253	2.162	1.985

по электронным состояниям можно ограничиться учетом только двух подуровней, и мы имеем

$$g_{hs} = 5(1 + e^{-\epsilon_s/T}).$$

Для низкоспинового состояния спиновое вырождение основного состояния равно единице. В сумму по электронным состояниям для $s = 0$ дает вклад только одно слагаемое, так как, согласно нашим расчетам, все электронные возбуждения из синглетного состояния имеют гораздо более высокую энергию, чем T_c (порядка 10000 см^{-1}) и, соответственно, $g_{ls} = 1$. Тогда изменение электронной энтропии составляет $\Delta S_{el} = \ln 5(1 + e^{-\epsilon_s/T})$. Можно убедиться, что за счет включения низколежащего электронного состояния оценка электронного вклада во внутримолекулярную часть энтропии спинового перехода увеличивается. Она составляет $16.5 \text{ Дж} \cdot \text{К}/\text{моль}$ (ср. с простейшей оценкой $k \ln 5 = 13 \text{ Дж} \cdot \text{К}/\text{моль}$ в [14]).

Для оценки колебательного вклада в энтропию спинового перехода имеем

$$\Delta S_{vib}^{hl} = S_{vib}^{hs} - S_{vib}^{ls} = k \ln(Q_{hs}/Q_{ls}) + kT \frac{\partial \ln(Q_{hs}/Q_{ls})}{\partial T},$$

где

$$Q_s = \frac{\exp(-\hbar\omega_s/2kT)}{1 - \exp(-\hbar\omega_s/2kT)}, \quad s = hs, ls. \quad (14)$$

При этом энергия колебательных состояний отсчитывается от дна соответствующей потенциальной ямы, а не от нулевого колебательного уровня, как в [20]. Преобразуя общее выражение с учетом этого обстоятельства, получим, что вклад от каждого колебания n , изменившего свою частоту при спиновом переходе в энтропию этого перехода, составляет

$$S_{vib}^n = \frac{\hbar\omega_{hs}^n}{2T} \coth\left(\frac{\hbar\omega_{hs}^n}{2kT}\right) - \frac{\hbar\omega_{ls}^n}{2T} \coth\left(\frac{\hbar\omega_{ls}^n}{2kT}\right) - k \ln \left[\frac{\sinh(\hbar\omega_{hs}^n/2kT)}{\sinh(\hbar\omega_{ls}^n/2kT)} \right].$$

Тогда общее изменение энтропии

$$\Delta S(T) = k \ln \{ 5(1 + e^{-\epsilon_s/T}) \} + \sum_n \Delta S_{vib}^n,$$

где сумма распространяется на все колебательные степени свободы, частоты которых изменяются при спиновом переходе. Аналогично формуле (12) колебательные статистические суммы для колебаний всех связей, кроме связей Fe-N, сокращаются, и в последней формуле суммирование ведется только по связям Fe-N. В результате в сумме содержится шесть (по числу связей Fe-N) одинаковых слагаемых. При этом изменение колебательной энтропии $\Delta S_{vib}(T_c)$ составляет $22.9 \text{ Дж} \cdot \text{К}/\text{моль}$.

Подбором параметров удается добиться полного согласия величины ΔH с экспериментальным значением $\Delta H = 10.0 \text{ кДж}/\text{моль}$. Вычисленная нами энтропия спинового перехода $\Delta S = 40 \text{ Дж}/\text{моль} \cdot \text{К}$, что лишь немногим меньше экспериментального значения, составляющего $48 \text{ Дж}/\text{моль} \cdot \text{К}$ [14]. Необходимо отметить, что это значение гораздо ближе к экспериментальному, чем те, которых удавалось добиться раньше [22], так как в настоящей работе учитываются колебания всех шести связей Fe-N, а не одной, как в [22]. Использование полученных оценок позволяет получить $T_c \approx 253 \text{ К}$. Таким образом, мы видим, что подбором параметров ММ можно добиться воспроизведения энталпии спинового перехода, а также получить оценки критической температуры с точностью до десятков градусов (см. таблицу). Полученные оценки свидетельствуют о принципиальной применимости предложенного нами подхода к описанию изменений полной энергии молекул КПМ при изменении их геометрии.

В настоящей работе была изучена возможность объединения методов молекулярной механики и эффективного кристаллического поля для получения приближенных оценок ППЭ комплексов переходных металлов. Мы применили общую методологию [10], основанную на разделении электронных переменных молекулярной системы и применении разных уровней описания (квантово-механического и молекулярно-механического, соответственно) для разных групп электронов. При этом роль квантово-механического метода играл метод ЭКП [11], применяемый для описания d -электронов, а молекулярная механика использовалась для описания лигандов.

Авторы благодарят П.Н. Дьячкова, В.В. Зеленцову, А.А. Левина, И.А. Мисуркина, В.И. Пупышева за заинтересованное обсуждение и И.Б. Берсукера за препринт его статьи [5].

Работа выполнена при финансовой поддержке Российского фонда фундаментальных исследований (грант № 96-03-32824) и INTAS (грант № 94-4089).

СПИСОК ЛИТЕРАТУРЫ

1. Rappé K., Casewit C., Colwell K., Goddard W.A., Skiff W. // J. Amer. Chem. Soc. 1992. V. 114. P. 10024.
2. Rappé K., Casewit C., Colwell K. // Inorg. Chem. 1993. V. 32. P. 3438.
3. Hay B. // Coord. Chem. Rev. 1993. V. 126. P. 177.
4. Burton V., Deeth R., Kemp C., Gilbert P. // J. Amer. Chem. Soc. 1995. V. 117. P. 8407.
5. Bersuker I.B., Leong M., Boggs J., Pearlman R. // Int. J. Quant. Chem. V. 63. P. 1051.
6. Comba P. // Coord. Chem. Rev. 1993. V. 123. P. 1.
7. Comba P., Hambley T. Molecular modeling of inorganic compounds. VCH, 1995.
8. Буркерт У., Эллинджер Н. Молекулярная механика. М.: Мир, 1986. (U. Burkert, N. Allinger. Molecular mechanics, ACS Monograph, 1982).
9. СЕСАМ-NSF Meeting on hybrid quantum and classical methods for the simulation of biopolymers / Eds. Field M., Guo J. // Int. J. Quant. Chem. 1996. V. 60. № 6.
10. Чугреев А.Л. // Хим. физика. 1997. Т. 16. № 6. С. 62.
11. Soudackov A.V., Tchougréeff A.L., Misurkin I.A. // Theor. Chim. Acta. 1992. V. 83. P. 389.
12. Мак-Вини Р., Сатклиф Б. Квантовая механика молекул. М.: Наука, 1972. (McWeeny R., Sutcliff B. Molecular quantum mechanics, Addison-Wesley, NY, 1969.)
13. Левин А.А., Дьячков П.Н. Электронное строение, структура и превращения гетеролигандных молекул. М.: Наука, 1990.
14. König E., Ritter H., Kulshreshtha B. // Chem. Rev. 1986. V. 82. P. 117.
15. Gülich P., Jung J., Goodwin H. // Molecular magnetism: from molecular assemblies to the devices / Eds. Coronado E., Delhaés P., Gatteschi D. et al. Dordrecht: Kluwer, 1996. P. 327.
16. Gallois R., Real J.A., Hauw C., Zarembowitch J. // Inorg. Chem. 1990. V. 29. P. 1152.
17. Tchougréeff A.L., Soudackov A.V., Misurkin I.A., Bolvin H., Kahn O. // Chem. Phys. 1995. V. 193. P. 19.
18. Allinger N. // J. Amer. Chem. Soc. 1977. V. 99. P. 8127.
19. Darhovskii M.B., Tchougréeff A.L. // Int. J. Quant. Chem. 1996. V. 57. P. 903.
20. Ландау Л.Д., Лишинец Е.М. Статистическая физика. Ч. 1. М.: Наука, 1996.
21. König E. // Struct. Bond. 1991. V. 82. P. 117.
22. Bolvin H., Kahn O. // Chem. Phys. 1995. V. 192. P. 295.